

Рис. 1. Динамика интенсивности головной боли в дооперационном периоде и через 7 дней после операции в группах КТ-навигации и КТ-МРТ-навигации

Fig. 1. The dynamics of headache intensity in the preoperative period and 7 days after surgery in the CT-navigation and CT-MRI-navigation groups

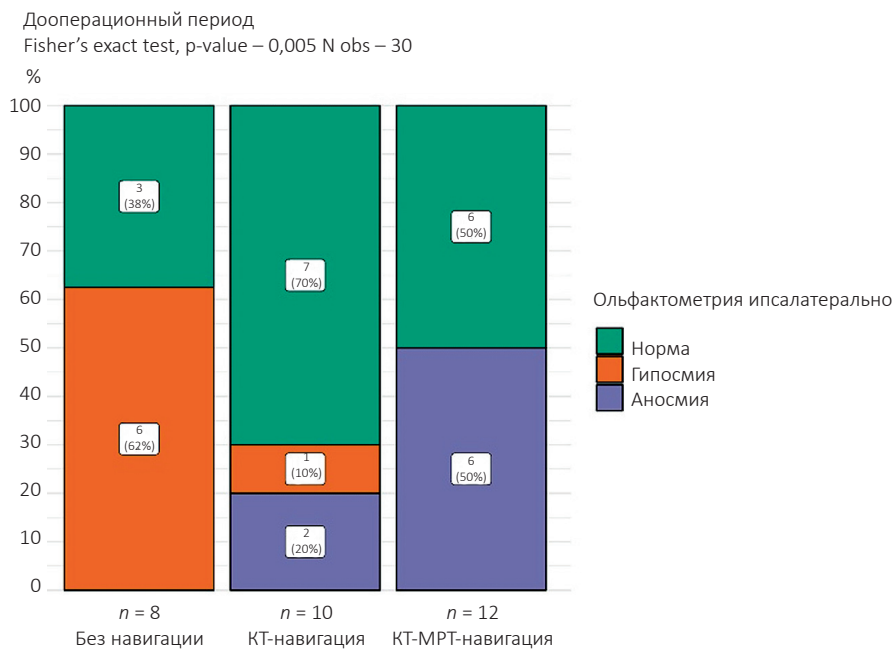


Рис. 2. Распределение пациентов по степени нарушения обоняния на стороне патологии в дооперационном периоде в трех исследуемых группах

Fig. 2. Distribution of patients according to the degree of olfactory impairment on the side of the pathology in the preoperative period in the three study groups

(рис. 2). Динамика результатов ольфактометрии была сопоставима в группах на 7-е сутки после операции ( $p = 0,221$ ) и в раннем послеоперационном периоде ( $p = 0,426$ ). В отдаленном послеоперационном периоде положительная динамика по данным ольфактометрии на стороне поражения была отмечена у 5 (55,6%) пациентов в группе КТ-навигации, у 5 (71,4%) пациентов в группе КТ-МРТ-навигации и у 5 (83,3%) пациентов в

группе без навигации ( $p = 0,934$ ), но нарушение обоняния сохранялось только в группе КТ-МРТ-навигации ( $p = 0,036$ ) (рис. 3).

При эндоскопическом исследовании перед хирургическим лечением сопутствующий хронический полипозный риносинусит обнаружен у 1 (10%) пациента в группе КТ-навигации, у 2 (16,7%) пациентов в группе КТ-МРТ-навигации и у 2 (25%) пациентов в группе без навига-